



# HBT-effect and Bose—Einstein correlations

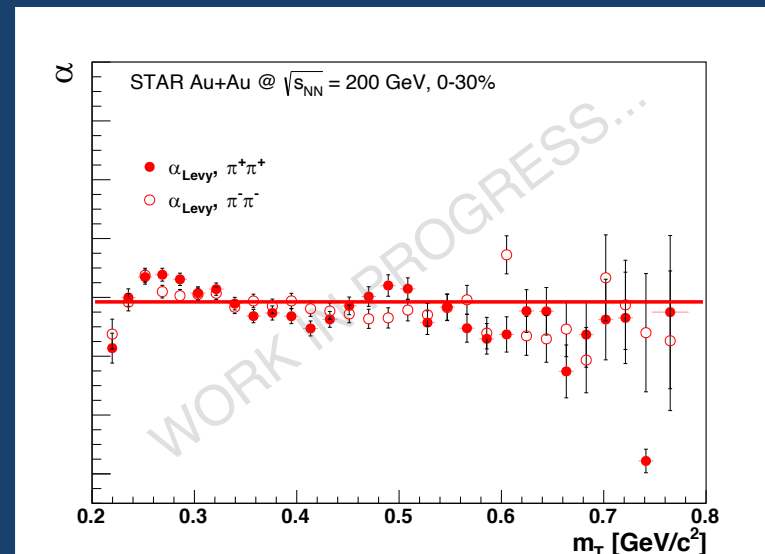
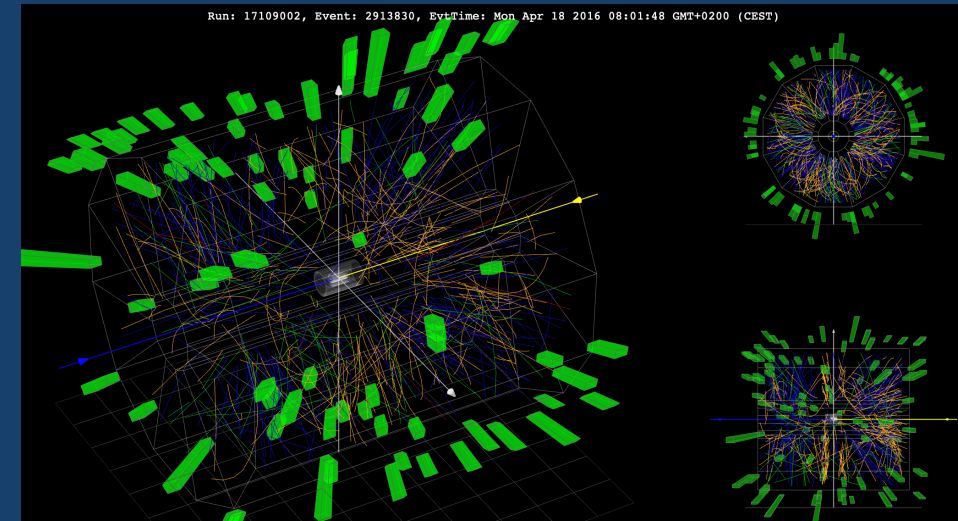
Nuclear physics seminar  
September 26, 2019

Roland Pintér  
Physics MSc

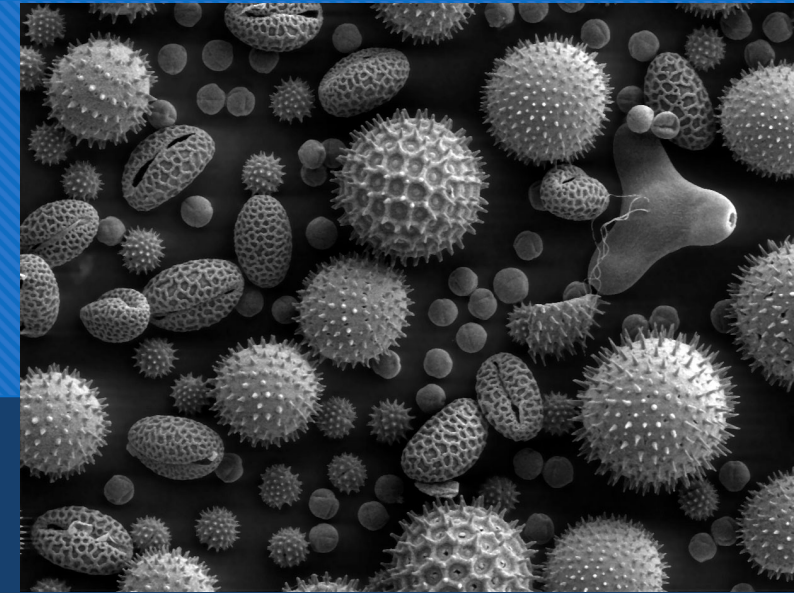
# 2/23 Table of contents



- Radio astronomy – HBT-effect
- High energy physics - Bose–Einstein–correlations
- Results from my research



# 3/23 ...scopy

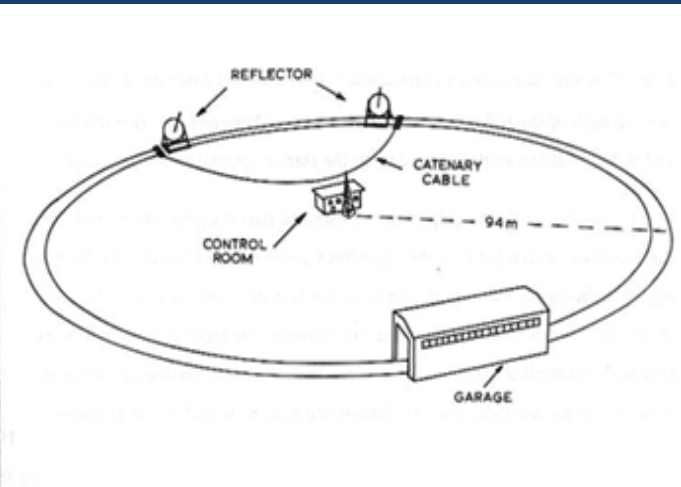
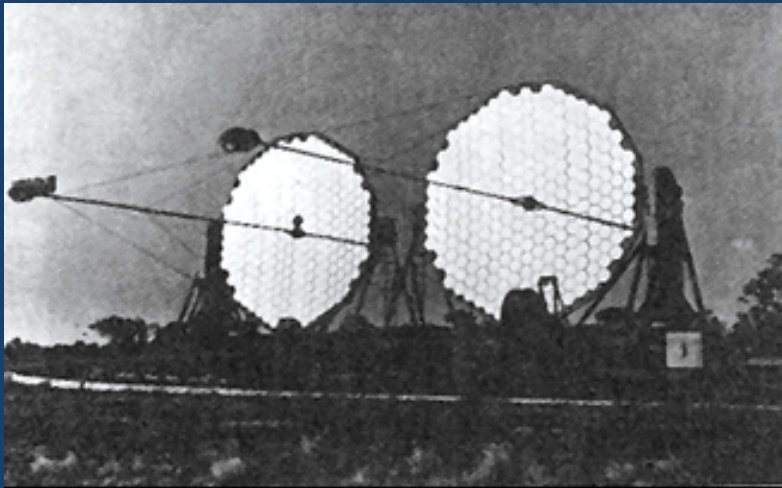


- Wave + object = interference (if  $\lambda \sim$  size scale)
- Visible light:  $\lambda \in [380, 740]$  nm,  $1 \text{ nm} = 1000 \mu\text{m}$  → **microscopy** (cannot see smaller objects with microscope)
- Electroscope → **nanoscopy**
  - $1 \text{ nm} = 10^{-9} \text{ m}$
  - Biological structures
- Nucleus:  $1 \text{ fm} = 10^{-15} \text{ m}$  → **femtoscscopy**, but with what??

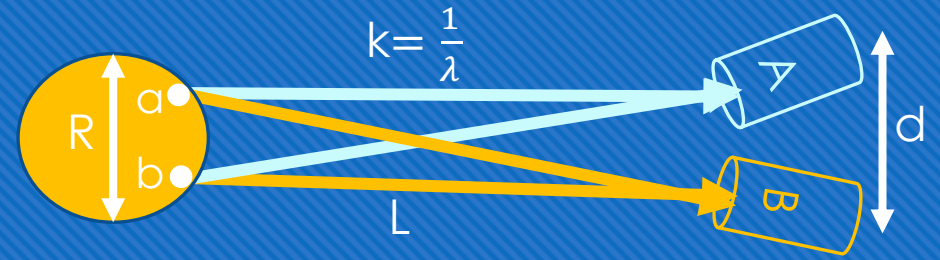
# 4/23 HBT-correlation

- 1931, Karl Guthe Jansky: radio waves emanating from the Milky Way → **radio astronomy**
- R. H. Brown: observing Sirius with radio telescope
- R. Q. Twiss: mathematician, asked by Brown to help with the theory explaining the results
- Strange **correlation** in the observed data

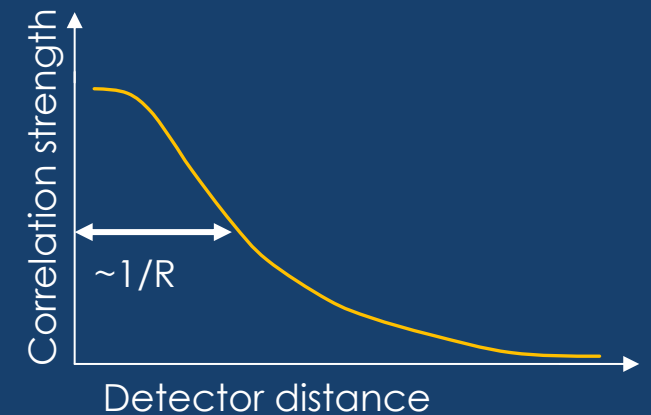
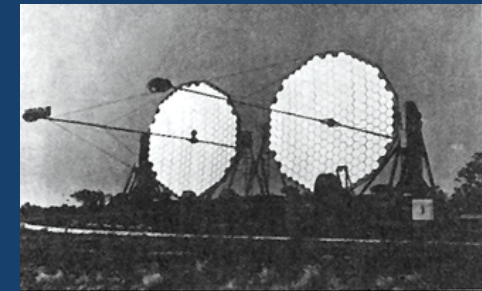
} HBT



# 5/23 HBT-effect



- $\langle I_A \rangle$ : average intensity in detector A, from the sources **a** and **b**
- $\langle I_B \rangle$ : average intensity in detector B, from the sources **a** and **b**
- $\langle I_A I_B \rangle$ : average joint intensity
- Brown's measurement:  $C(\delta) - 1 = \frac{\langle I_A I_B \rangle}{\langle I_A \rangle \langle I_B \rangle} - 1 \sim \cos(\delta)$  correlation
- where  $\delta \sim d \cdot R$
- The size of the point-like object (star) is measurable!



# 6/23 HBT with two classical point sources – I.

- The two point sources are chaotic:  $\Phi_{a,b}$  random phases
- Spherical waves coming from the two point source:

$$A_{a,b}(r) = \frac{1}{|r-r_{a,b}|} \alpha e^{ik|r-r_{a,b}|+i\phi_{a,b}}$$

- The whole wave arriving at detector A:

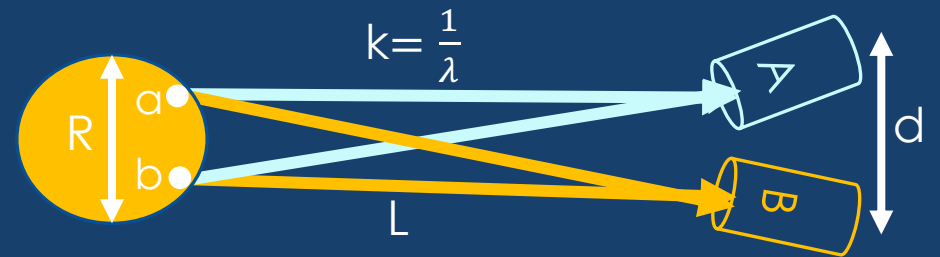
$$A(r_A) = A_a(r_A) + A_b(r_A) \cong \frac{1}{L} (\alpha e^{ikr_{aA}+i\Phi_a} + \beta e^{ikr_{bA}+i\Phi_b})$$

- Where the intensity:

$$I_A = |A(r_A)|^2 \cong \frac{1}{L^2} (|\alpha|^2 + |\beta|^2 + \alpha^* \beta e^{ik(r_{bA}-r_{aA})+i(\Phi_b-\Phi_a)} + c.c.)$$

- In its time average in the case of chaotic (thermal, random phase) radiation the phases are disappearing, thus:

$$\langle I_A \rangle = \langle I_B \rangle = \frac{1}{L^2} (|\alpha|^2 + |\beta|^2)$$



# 7/23 HBT with two classical point sources – II.

- The time average of the product of the intensities:

$$\langle I_A I_B \rangle = \langle |A(r_A)|^2 |A(r_B)|^2 \rangle$$

- The momentary amplitude square:

$$|A(r_A)|^2 \cong \frac{1}{L^2} (|\alpha|^2 + |\beta|^2 + \alpha^* \beta e^{ik(r_{bA} - r_{aA}) + i(\Phi_b - \Phi_a)} + c.c.)$$

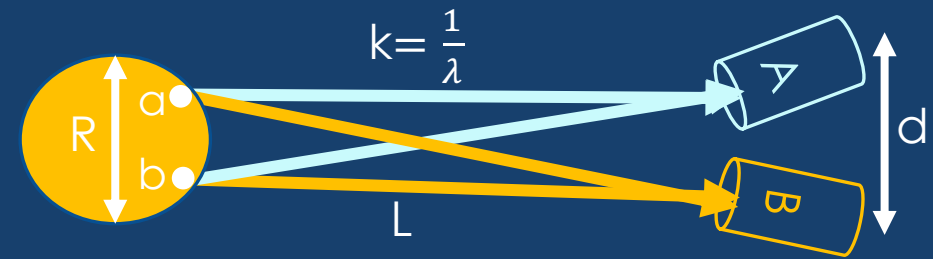
- Thus the phases in 1-1 parts are disappearing, and we get:

$$\langle I_A I_B \rangle = \frac{1}{L^4} (|\alpha|^2 + |\beta|^2)^2 + \frac{2}{L^4} |\alpha|^2 |\beta|^2 \cos(k[r_{aA} - r_{bA} + r_{aB} - r_{bB}])$$

- Geometry:  $k(r_{aA} - r_{bA} + r_{aB} - r_{bB}) \approx \frac{kRd}{L} = R \cdot \Delta k$

- In case of:  $\alpha = \beta$  and  $d, R \ll L$ :

$$C_{AB}(\delta) - 1 = \frac{\langle I_A I_B \rangle}{\langle I_A \rangle \langle I_B \rangle} - 1 = \frac{1}{2} \cos(R \cdot \Delta k)$$



# 8/23 HBT with two quantum sources

- One-particle wave functions:

$$\Psi_{a,b}(r) = \frac{1}{|r-r_{a,b}|} e^{ik|r-r_{a,b}|+i\Phi_{a,b}}$$

- Two-particle wave function:

$$\Psi_{A,B}(r) = \Psi(R_A, R_B) = \frac{1}{\sqrt{2}} (\Psi_a(R_A)\Psi_b(R_B) + \Psi_a(R_B)\Psi_b(R_A))$$

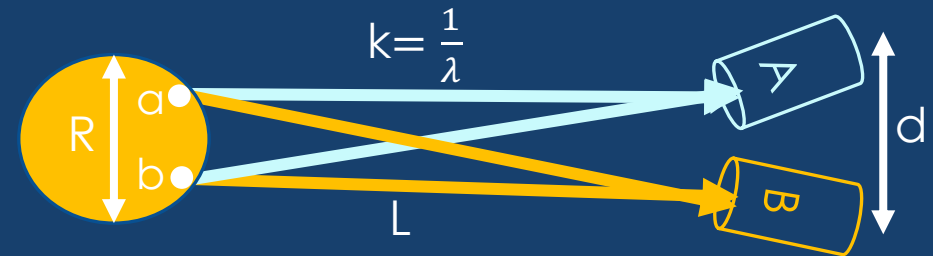
- The average two-particle probability:

$$\langle |\Psi_{A,B}|^2 \rangle = \frac{1}{L^4} (1 + \cos(R \cdot \Delta k))$$

- The result is similar to the classical case:

$$C_{AB} - 1 = \frac{\langle |\Psi_{A,B}|^2 \rangle}{\langle |\Psi_a|^2 \rangle \langle |\Psi_b|^2 \rangle} - 1 = \cos(R \cdot \Delta k)$$

- However, the  $\frac{1}{2}$  multiplier is missing!





# 9/23 Femtoscopy with extensive sources

- What happens in case of an extensive source, with  $S(r)$  distribution?

$$\Psi(r) = e^{ikr}, \quad \Psi_2(r_1, r_2) = \frac{1}{\sqrt{2}} (e^{ik_1 r_1} e^{ik_2 r_2} + e^{ik_1 r_2} e^{ik_2 r_1})$$

$$|\Psi(r)|^2 = 1, \quad |\Psi_2(r_1, r_2)|^2 = 1 + \cos[(k_1 - k_2)(r_1 - r_2)]$$

$$N_1(k) = \int S(r, k) |\Psi(r)|^2 d^4r = \int S(r, k) d^4r$$

$$N_2(k_1, k_2) = \int S(r_1, k_1) S(r_2, k_2) |\Psi_2(r_1, r_2)|^2 d^4r_1 d^4r_2$$

$$C_2(k_1, k_2) = \frac{N_2(k_1, k_2)}{N_1(k_1) N_1(k_2)} \cong 1 + \left| \frac{\tilde{S}(q, K)}{\tilde{S}(0, K)} \right|^2 \quad \text{where } q = k_1 - k_2, \quad K = \frac{k_1 + k_2}{2}$$

## Notations:

- $k$ : momentum
- $q$ : relative momentum
- $K$ : pair's average momentum
- $N_1(k)$ : one-particle invariant momentum distribution
- $N_2(k_1, k_2)$ : two-particle invariant momentum distribution

- With normed source:  $C(q) = 1 + |\tilde{S}(q)|^2$  where  $\tilde{S}(q) = \int S(r) e^{iqr}$
- Can be inverted, we can get  $S(r)$  from  $C(q)$
- Approximations: no interaction (plain wave), thermal emission (random phases)

# 10/23 Source or correlation function?

## Notations:

$-\rho$ : pair's center of mass  
 $-r = r_1 - r_2$ : pair's spatial separation

- With approximations (no interaction, thermal emission):

$$C_2(q, K) = \int S\left(r_1, K + \frac{q}{2}\right) S\left(r_2, K - \frac{q}{2}\right) |\Psi_2(r_1, r_2)|^2 dr_1 dr_2 \cong 1 + \left| \int S(r, K) e^{iqr} dr \right|^2$$

- Let's introduce the spatial correlation function:

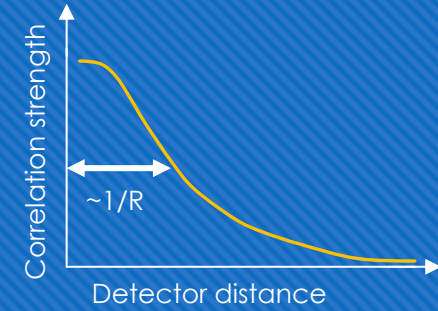
$$D(r, K) = \int S\left(\rho + \frac{r}{2}, K\right) S\left(\rho - \frac{r}{2}, K\right) d\rho$$

- With this, the Bose—Einstein-correlation function:

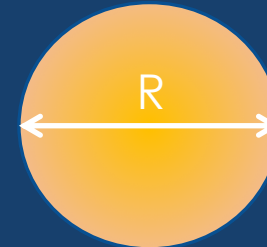
$$C_2(q, K) \cong \int D(r, K) |\Psi_2(r)|^2 dr = 1 + \int D(r, K) e^{iqr} dr = 1 + \frac{\tilde{D}(q, K)}{\tilde{D}(0, K)}$$

- The Bose—Einstein-correlation function measures the spatial correlation!

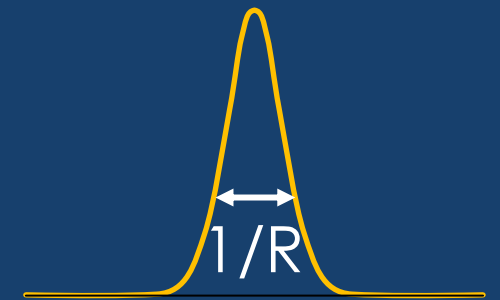
# 11/23 To sum up femtoscopy



- R. H. Brown, R. Q. Twiss: observed Sirius with radio telescopes
  - Intensity correlation VS detector distance  $\rightarrow$  source size
  - Measured the size of point-like sources
- Goldhaber et al: application in high energy physics
  - Momentum correlation  $C(q)$  related to the source  $S(r)$
  - $C(q) \cong 1 + \left| \int S(r) e^{iqr} dr \right|^2$  (with some approximations)  
or the distance distribution  $D(r)$   
 $C(q) \cong 1 + \int D(r) e^{iqr} dr$



$S(r)$  source function

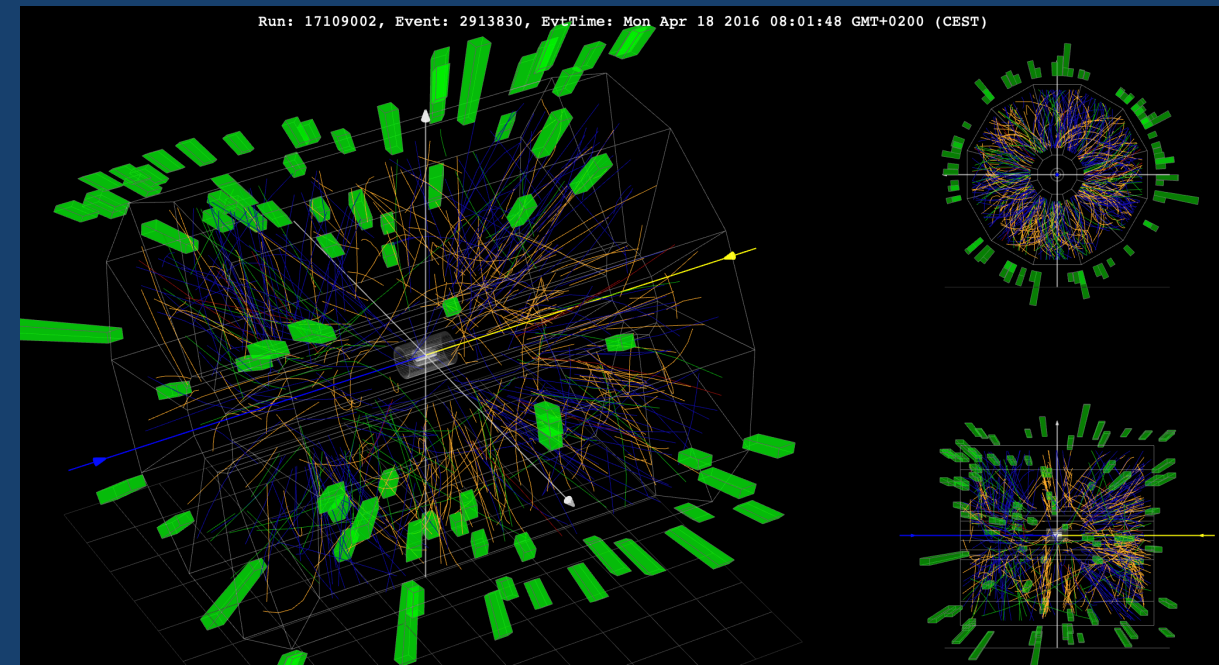
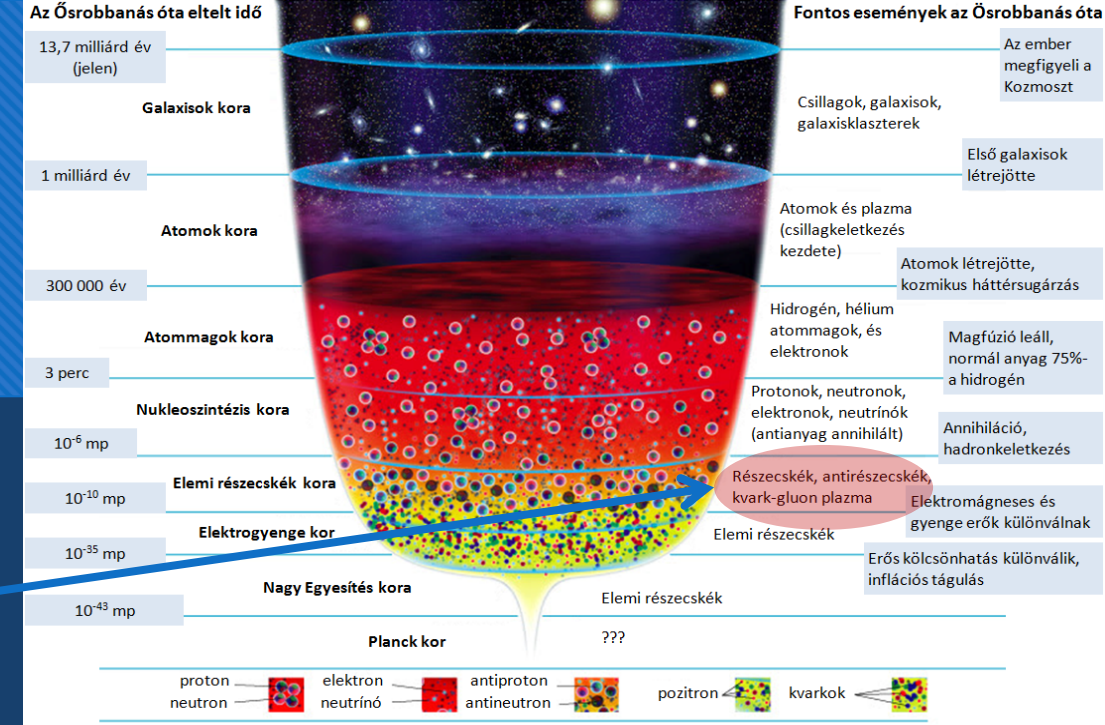


$C(q)$  correlation function

Measuring  $C(q)$ : map out source's space-time geometry on the femtometer scale!

# 12/23 Big bang in the lab

- Universe: ~13,7 billion years old
- ~ $10^{-6}$  s: quark-gluon plasma
- Collisions at ultrarelativistic velocities: „small bang”
- Detectors around the collisions: reconstruction of the state right after the collision

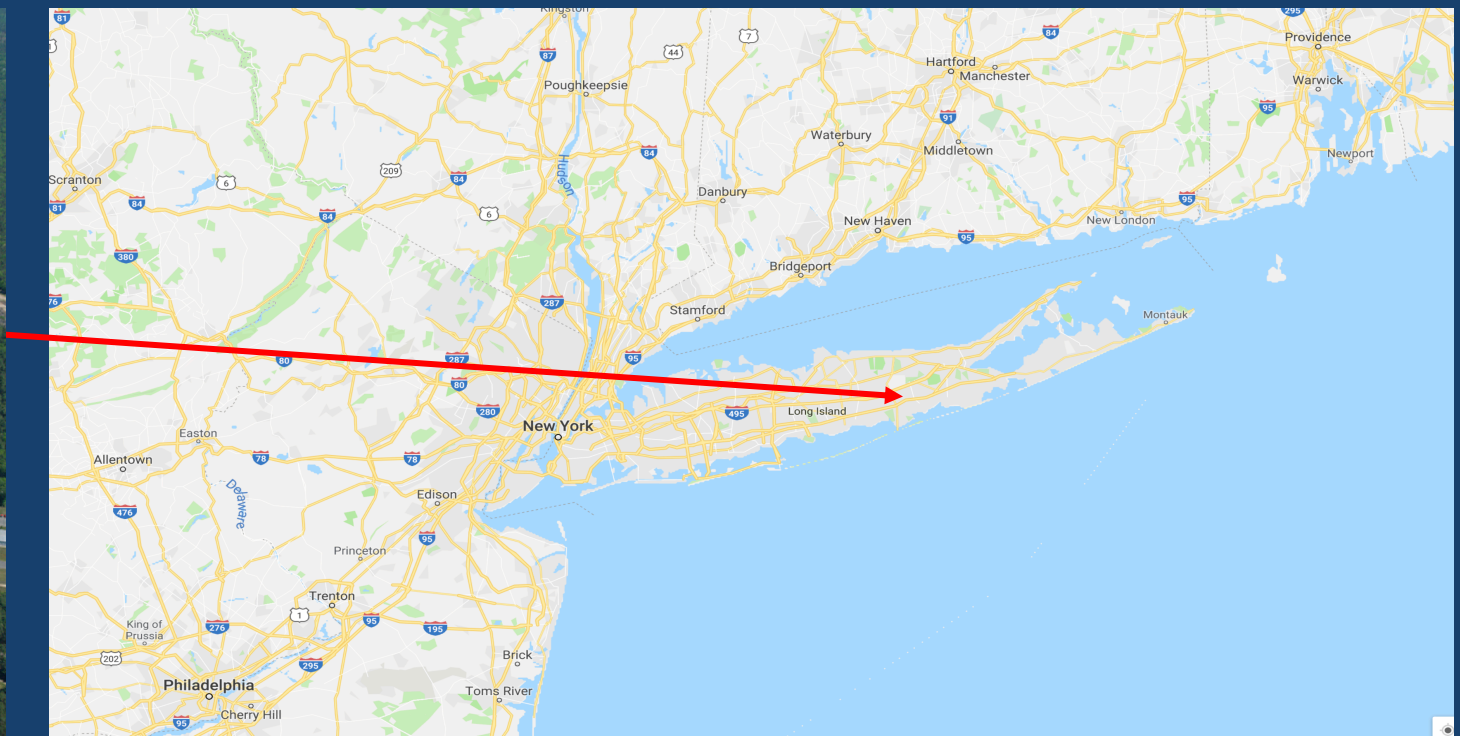


# 13/23 Relativistic heavy ion collider (RHIC)

Aerial photo of RHIC



Long Island, USA



# 14/23 Femtoscopy in HEP

## Notations:

$-Q = |\vec{q}_{LCMS}|$  : invariant to Lorentz-boost in the z direction

$-Q = \sqrt{(p_{1x} - p_{2x})^2 + (p_{1y} - p_{2y})^2 + q_{long,LCMS}^2}$  where

$$q_{long,LCMS}^2 = \frac{4(p_{1z}E_2 - p_{2z}E_1)^2}{(E_1 + E_2)^2 - (p_{1z} + p_{2z})^2}$$

○ If  $S(r)$  symmetric Lévy:  $C(Q) = 1 + \lambda \cdot e^{-(RQ)^\alpha}$  (without corrections)

○  $\lambda$ : correlation strength

○ R: source parameter

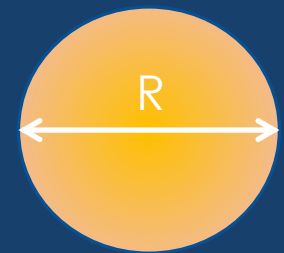
○  $\alpha$ : Lévy-exponent

○ Previously Gauss shape:  $\alpha = 2$ , not precise

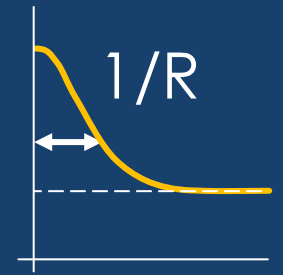
○ Lévy-type correlation function:  $\alpha \neq$  fixed

○ I measured:  $C(Q)$  for charged pion pairs @ 200 GeV @ STAR experiment

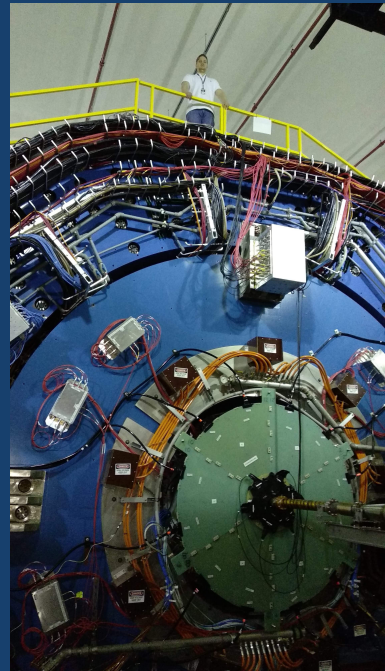
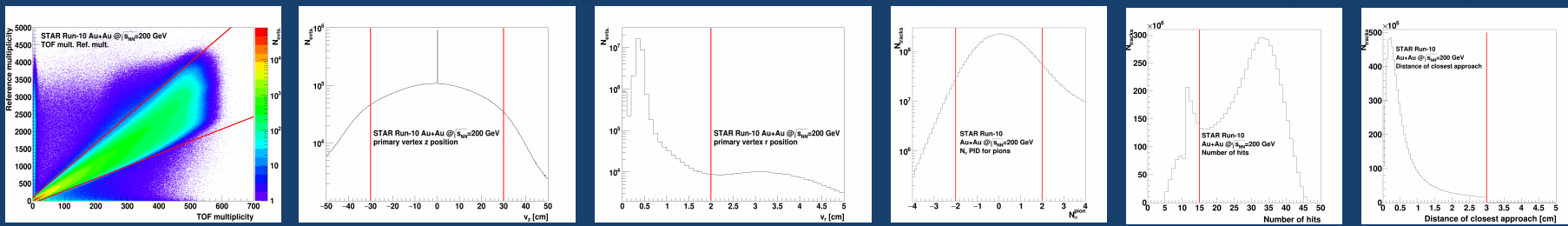
○ Collision data needs the application of cuts (event-, particle-, pair-cuts)



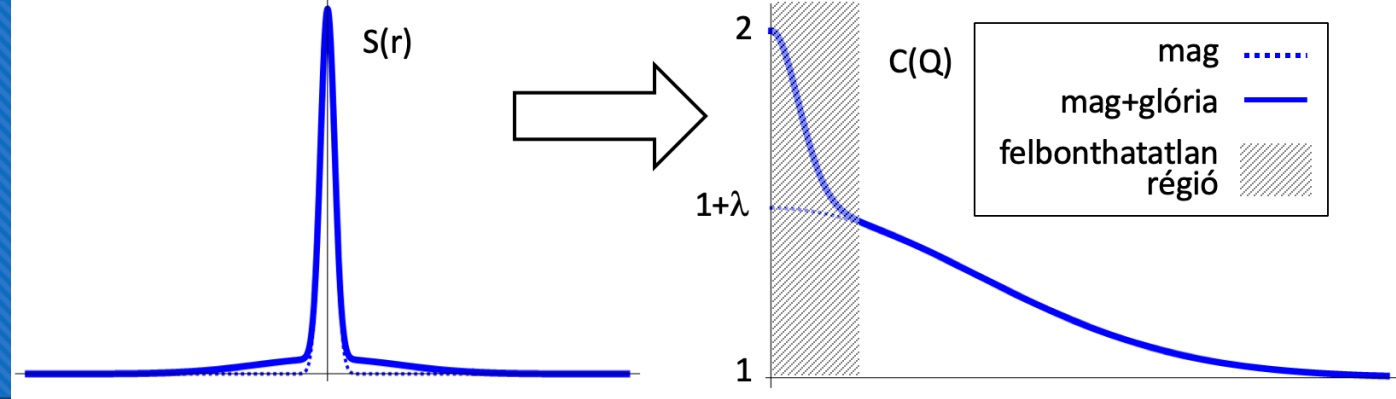
$S(r)$



$$C(Q) = 1 + |\tilde{S}(Q)|^2$$

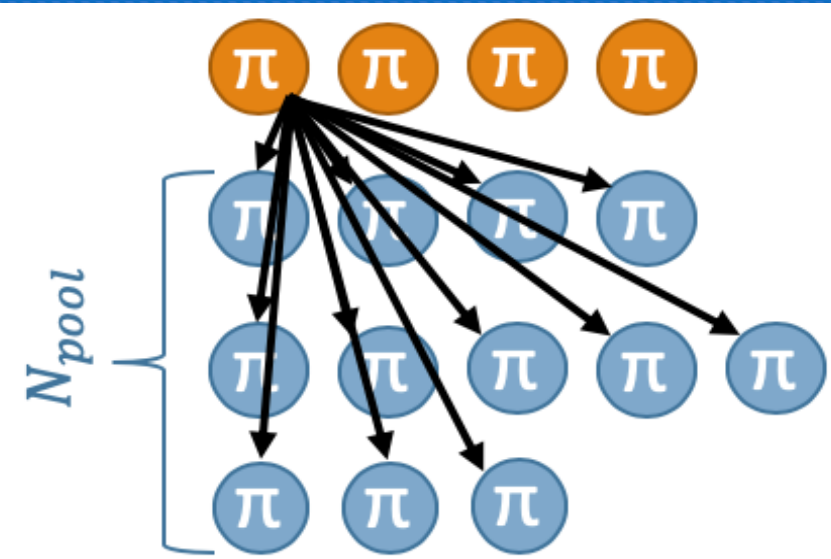


# 15/23 Core-halo model



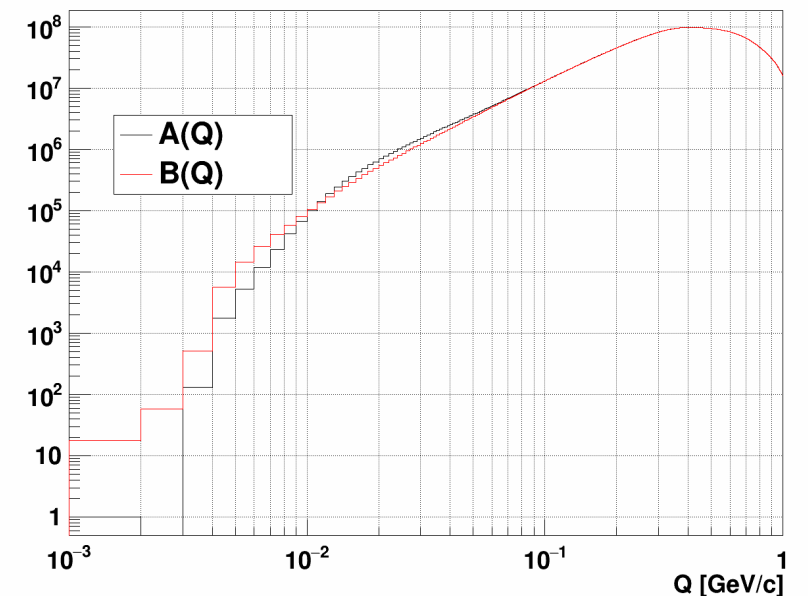
- $C_2(q, K) = 1 + \frac{\tilde{D}(q, K)}{\tilde{D}(0, K)} \rightarrow$  if we neglect final state interactions:  $C_2(Q = 0) = 2$
- However, we cannot measure  $C_2$  at rel. mom. = 0, only at a small finite  $Q_{min}$ , then we extrapolate to  $Q = 0$
- Due to the extrapolation, the extrapolated value can differ from the real value, which we can take into account as:  $\lambda = \lim_{Q \rightarrow 0} C_2(Q) - 1 \leftarrow$  correlation strength
- By measuring collision data,  $\lambda < 1$  could be seen  $\rightarrow$  **core-halo model**
- Not all particles are coming from the collision, several comes from decays
- Core-halo model: the source function consists of core & halo parts
- After long calculations, we can get:  $\sqrt{\lambda} = \frac{N_{core}}{N_{core} + N_{halo}}$

# 16/23 Event mixing



- **Measure: relative momentum distribution of pion pairs**
- **$A(Q)$ : 2 pions from the same event (actual distr.)**
- **$B(Q)$ : 2 pions from different events (background distr.)**
- $B(Q)$  and  $A(Q)$ : same kinematic and acceptance conditions
  - Centrality and vertex position must be similar
  - Applying: 5% wide centrality, 2 cm wide z-vertex bins
- $C_2(Q) = A(Q)/B(Q)$  (needs to be normed)

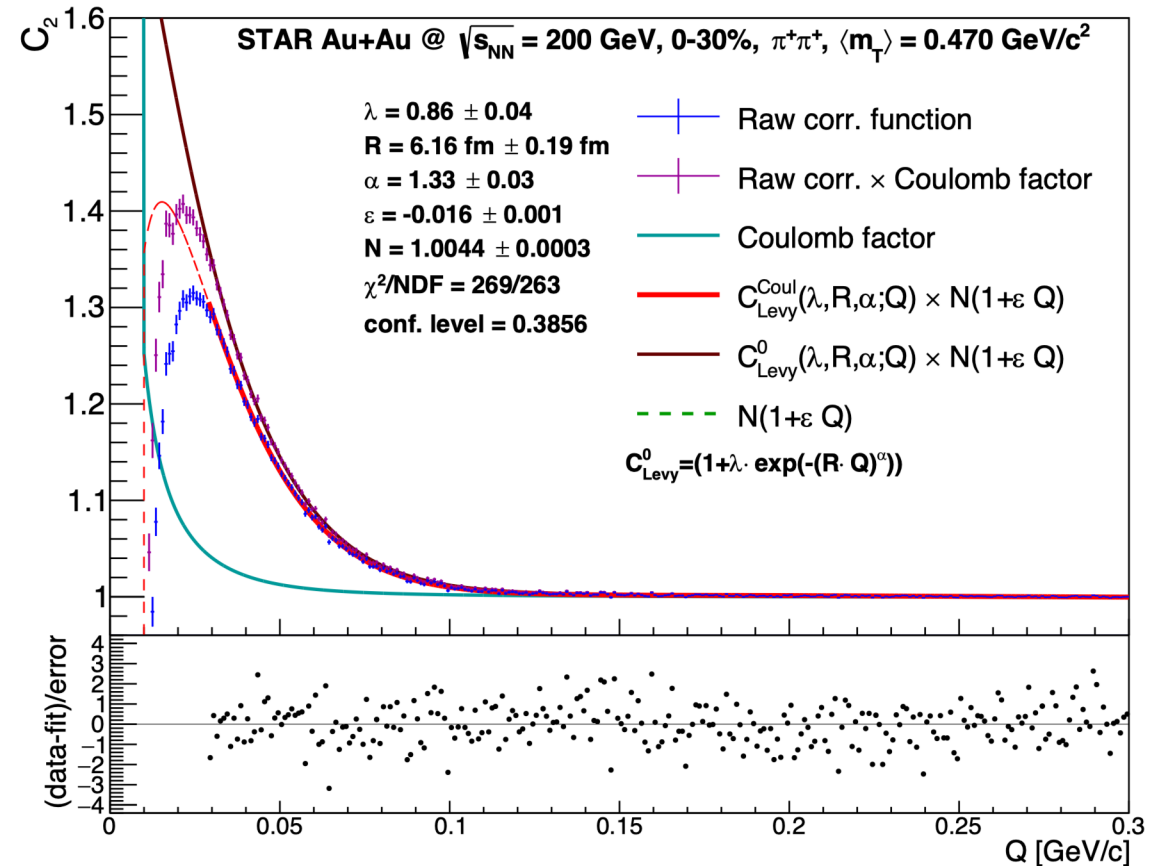
STAR Run-10 Au+Au @  $\sqrt{s_{NN}}=200$  GeV,  $\pi\pi$ ,  $A(Q)$  &  $B(Q)$ , cut0, pt9





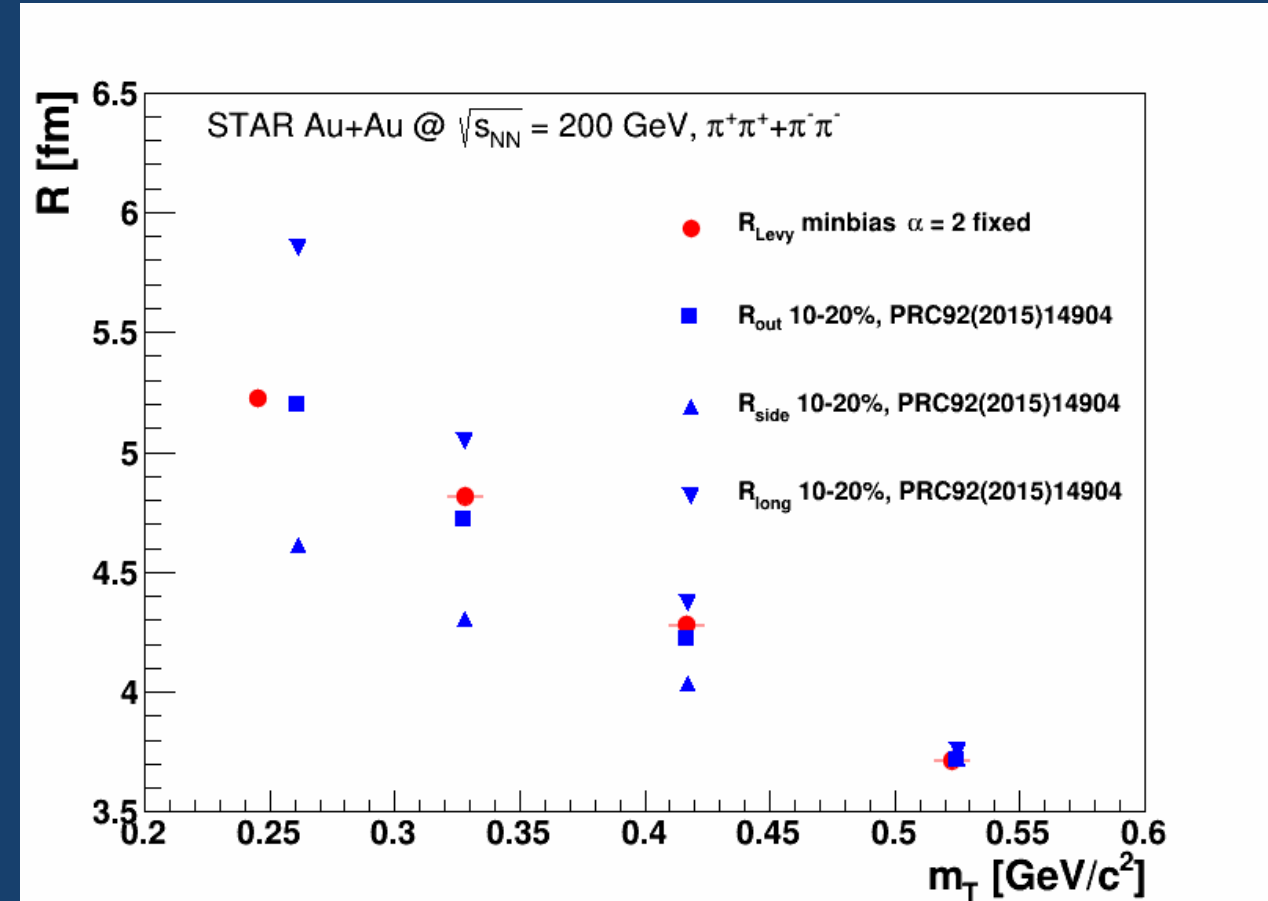
# 17/23 Fitting the measured correlation functions

- ROOT package (C++), MINUIT2  $\chi^2$  minimizer
- 4 and 30  $m_T$  (pair transverse mass) bins:  
[212,792] MeV/c<sup>2</sup> ( $m_T = \sqrt{m^2 + K_T^2/c^2}$ )
- Fitting parameters:
  - $\lambda, R, \alpha$  : physics parameters
  - $N \approx 1$  : normalising parameter
  - $\varepsilon \approx 0$  : linear background parameter



# Comparison: STAR

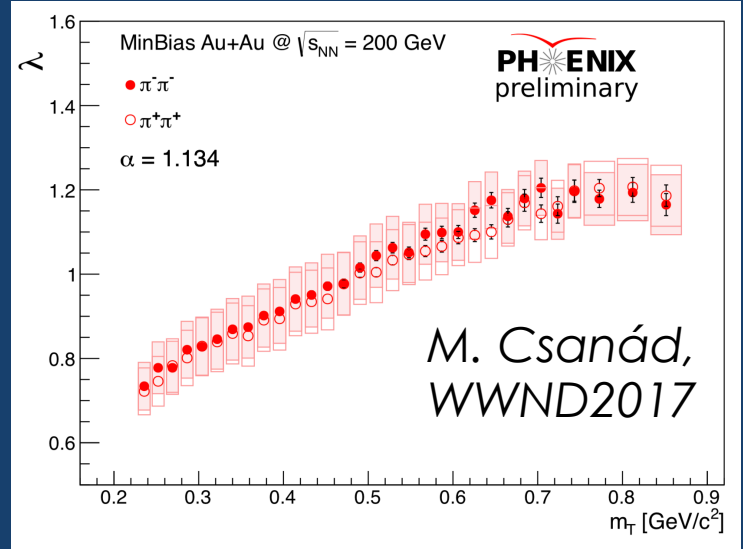
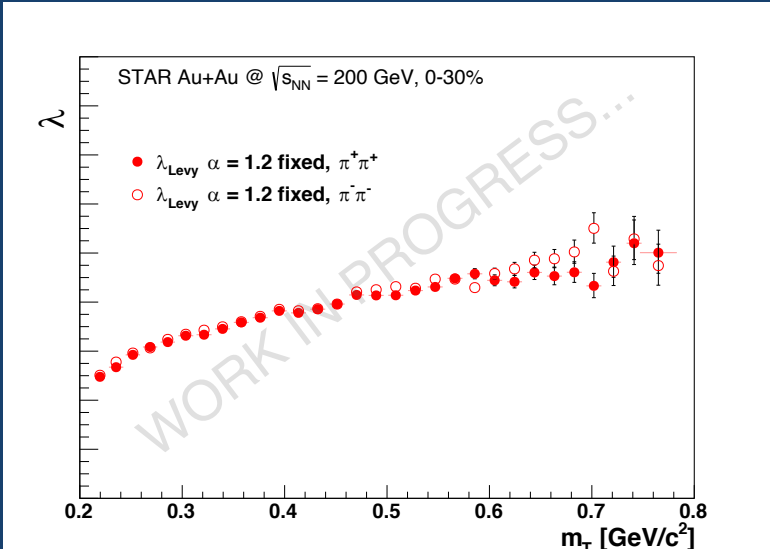
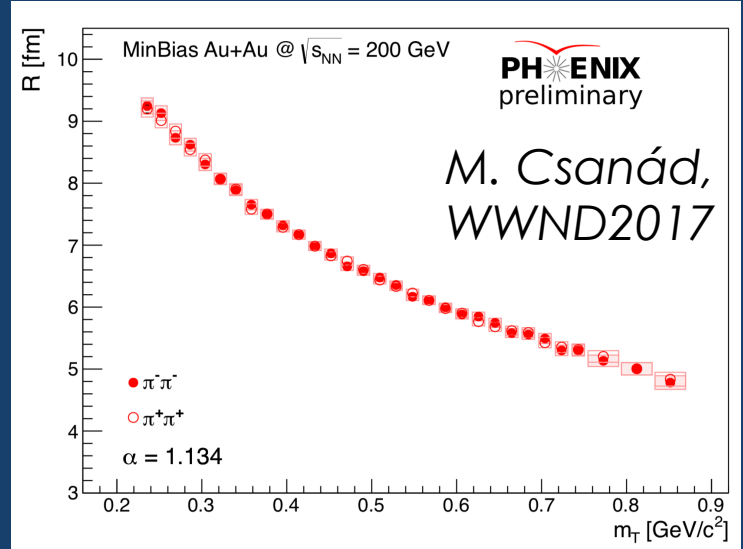
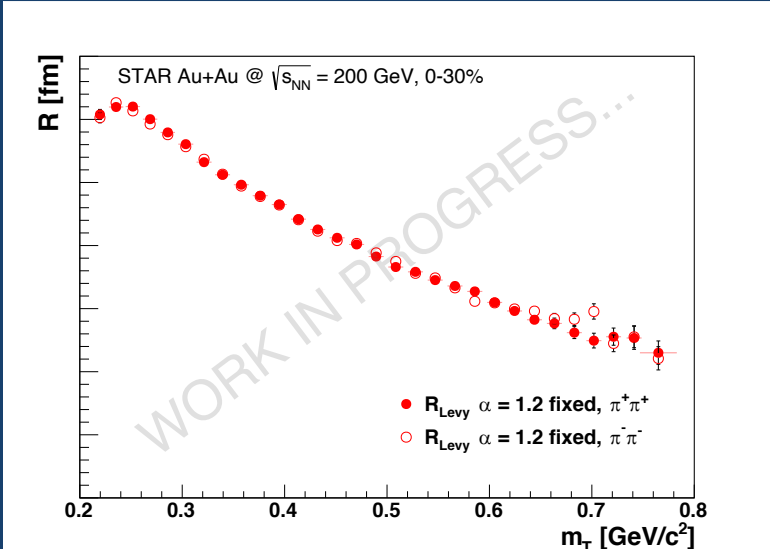
- First step: comparing with previous results
- STAR HBT: Phys. Rev. C92 (2015) 14904
  - Gauss shape fitting:  $\alpha = 2$
  - 4  $m_T$  bin
  - $\lambda$  parameter is not published
  - **3 dimensional measurement**
  - *Trend and average value of  $R$  is comparable*
- My measurement is compatible with the previously published



# Comparison: PHENIX fixed $\alpha$

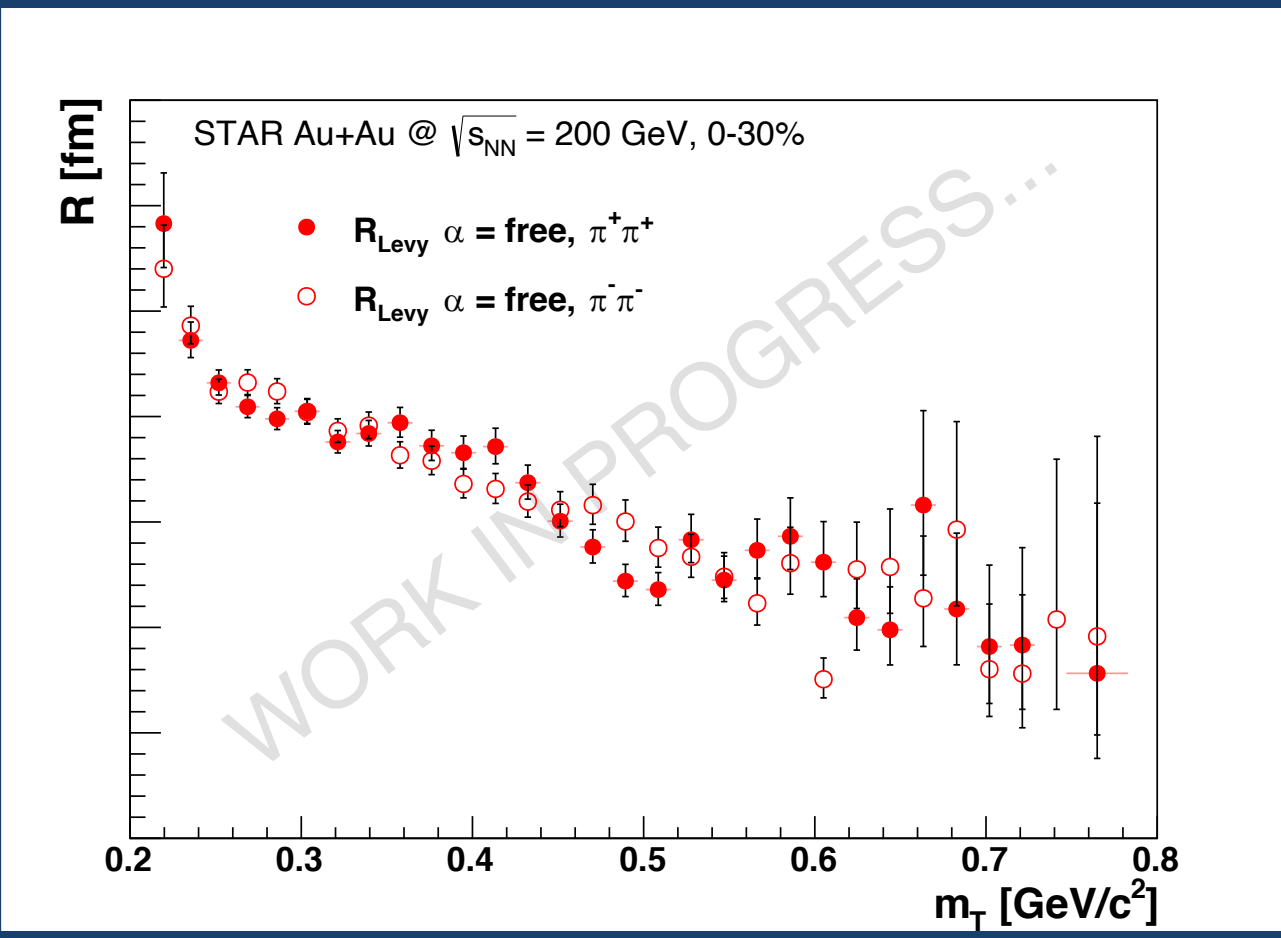
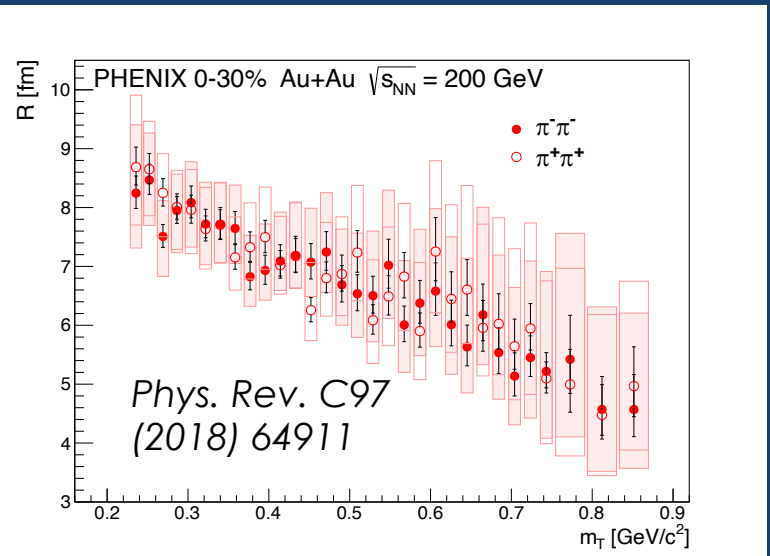
- $\alpha = 1.2$  fixed
- 30  $m_T$  bins
- My results reproduce the PHENIX experiment's published results

Hivatkozás: M. Csanád, WWND2017



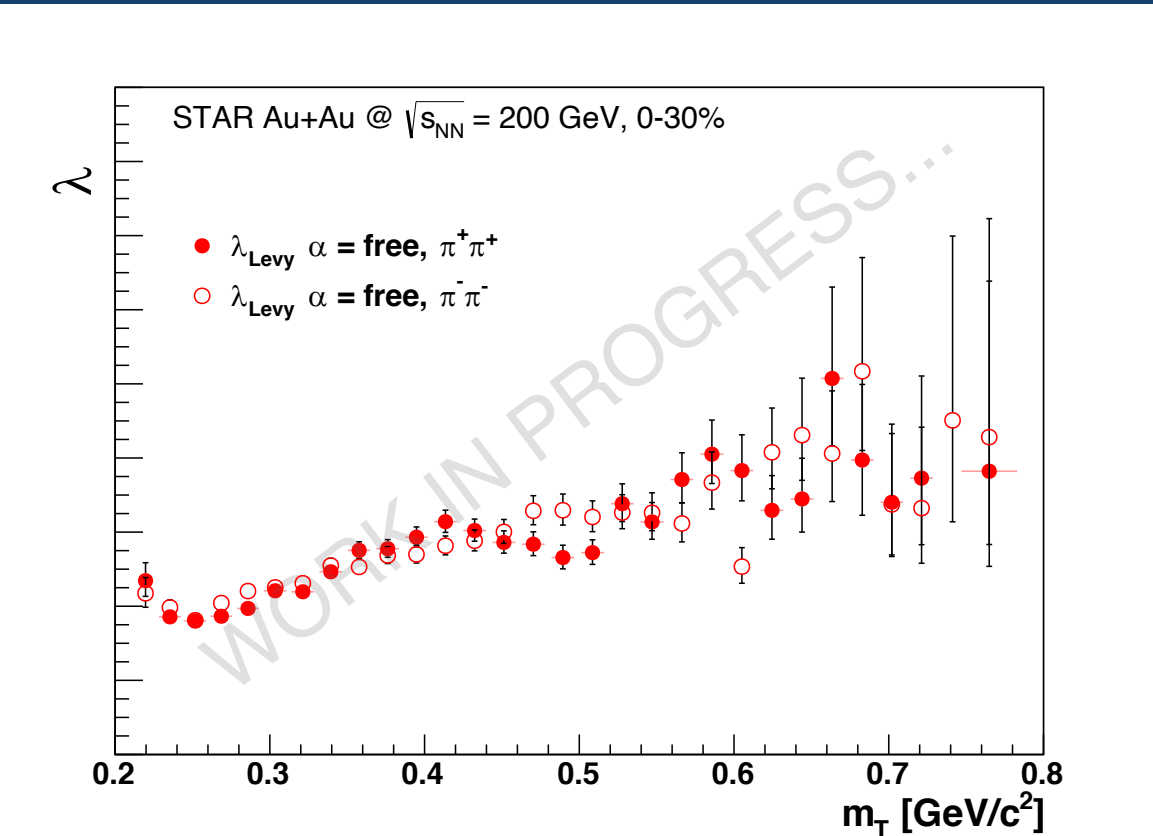
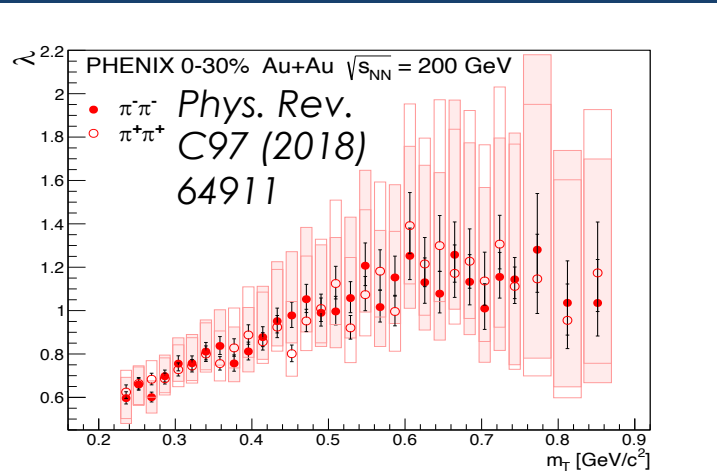
# 20/23 Fitting with $\alpha \neq \text{fixed}$ : $R$ physics parameter

- Still decreasing trend
- Corresponds to the hydrodynamical calculations' radial expansion  $R^2 \sim 1/m_T$  prediction
- PHENIX comparison: Phys. Rev. C97 (2018) 64911



# 21/23 Fitting with $\alpha \neq \text{fixed}$ : $\lambda$ physics parameter

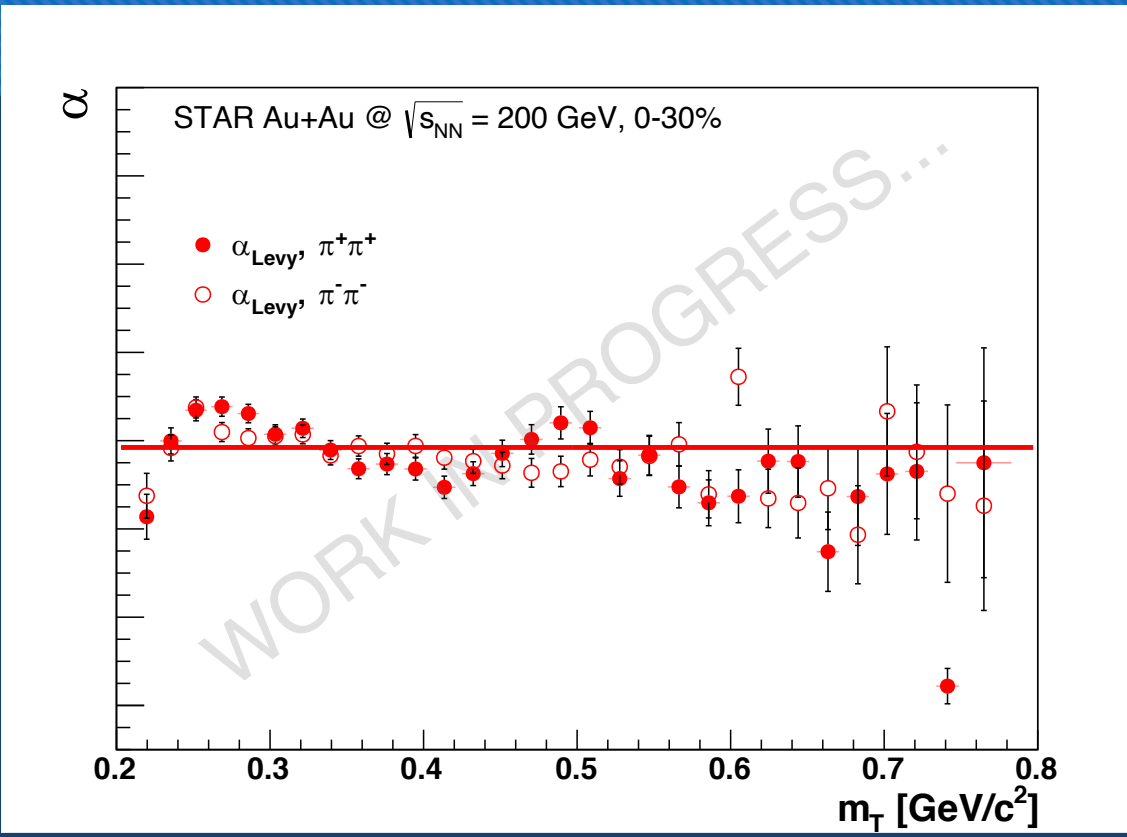
- $\lambda(m_T) \neq 1$  could have different reasons
  - Smaller  $m_T$ : numerous pions are created from long lifetime resonance (such as  $\eta'$  meson) decays
- Bigger  $m_T$ :  $\lambda$  saturates, smaller  $m_T$ :  $\lambda$  is smaller
- PHENIX comparison: Phys. Rev. C97 (2018) 64911



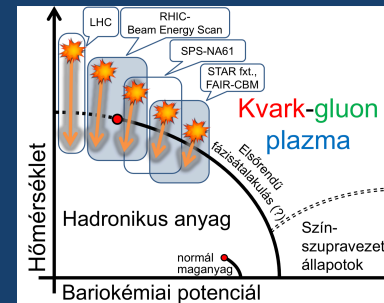
# 22/23 Fitting with $\alpha \neq \text{fixed}$ : $\alpha$ physics parameter

- $\alpha$  is nearly  $m_T$  independent,  $\langle \alpha \rangle \approx 1.2$
- $\alpha < 2$ : Gauss shape is not correct
- Relationship with the critical point:
  - Critical correlation exponent  $\eta$ , universality
  - Meaning: spatial correlation's power-low tail (hatványlencsengés)
  - Same with the Lévy-exponent  
Ref.: Csörgő, et al, AIP Conf. Proc. 828 (2006) 525-532, nucl-th/0512060
  - Random field 3D Ising-model:  $\eta \approx 0.5 \pm 0.05$   
Ref.: H. Rieger, 1995. Phys.Rev.,B52 (1995) 6659
  - 3D Ising-model:  $\eta \approx 0.03631$   
Ref.: S. El-Showk et al., J.Statist.Phys. 157 (2014) 869

It seems important to measure in smaller energy data  $\Rightarrow$  STAR Beam Energy Scan!



Quark-hadron transition:  
big E: continuous  
small E: first-order phase transition



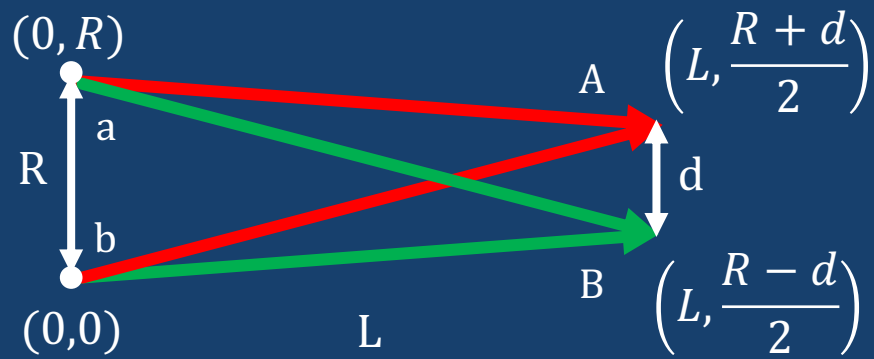
# 23/23 Conclusions

- HBT-effect and Bose—Einstein-correlations were introduced
- RHIC STAR: 2010, Au+Au  $\sqrt{s_{NN}} = 200$  GeV
- Gauss shape is not correct  $\Rightarrow$  Lévy-distribution
- Lévy-distribution + final state Coulomb-interaction  $\Rightarrow$  the data can be described statistically well
- Fitting: Lévy source parameters'  $(R, \lambda, \alpha)$   $m_T$  dependence
- $\alpha$  Lévy-exponent  $< 2$ , but far away from the critical point's expected  $\alpha < 0.5$  value
- $\alpha$  looks independent from  $m_T$
- High energy heavy ion collisions: correlation functions' Lévy-exponent is **measurable**
- Plans: 3D measurements with differently stored data and with improved fitting for my MSc thesis

**Thanks for your kind attention!**

**Back-up**





$$\vec{r}_{aA} = \left( L, \frac{-R - d}{2} \right)$$

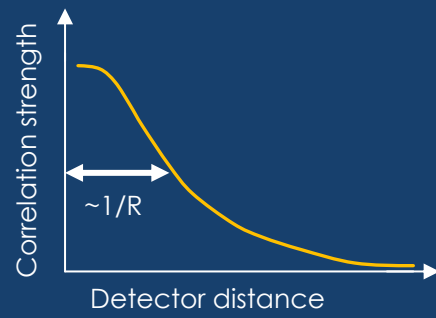
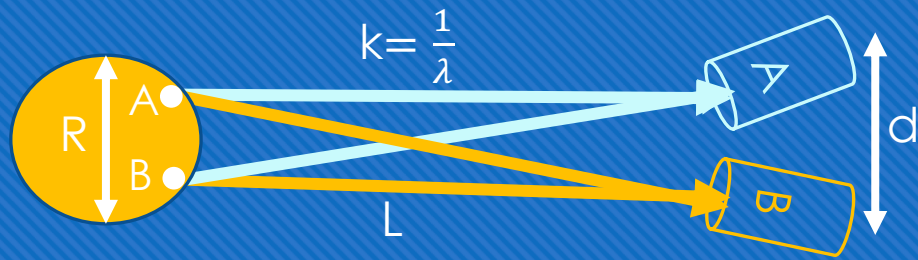
$$\vec{r}_{aB} = \left( L, \frac{-R + d}{2} \right)$$

$$\vec{r}_{bA} = \left( L, \frac{+R + d}{2} \right)$$

$$\vec{r}_{bB} = \left( L, \frac{+R - d}{2} \right)$$

$$r_{aA} - r_{bA} + r_{aB} - r_{bB} = 2 \sqrt{L^2 + \frac{(R + d)^2}{4}} - 2 \sqrt{L^2 + \frac{(R - d)^2}{4}} \approx \frac{Rd}{L}$$

$$k(r_{aA} - r_{bA} + r_{aB} - r_{bB}) \approx \frac{kRd}{L} = R \cdot \frac{kd}{L} = R \cdot \Delta k$$



# Mérés részletei

## ○ Eseményválogatás:

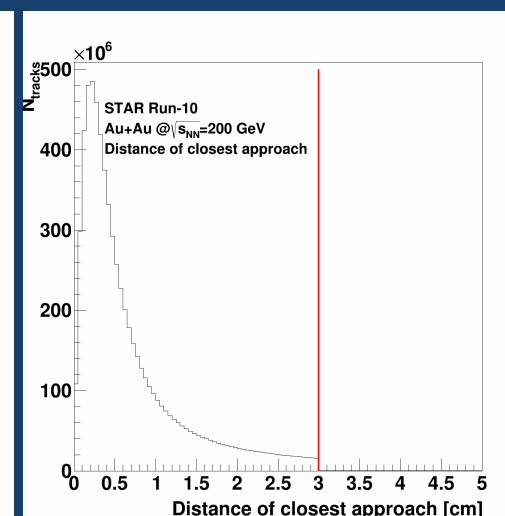
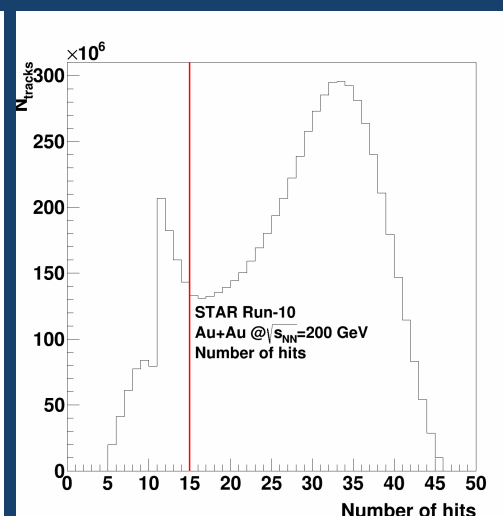
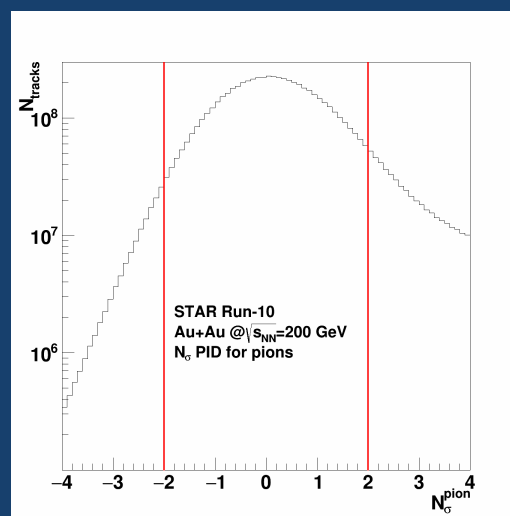
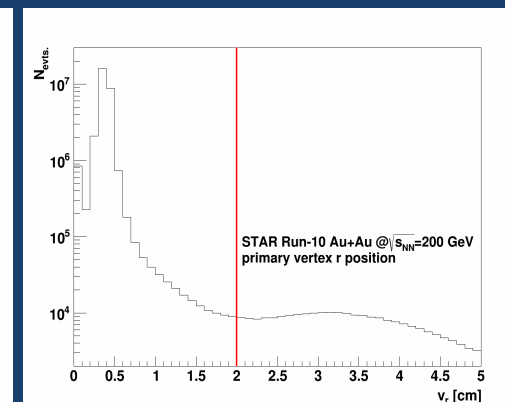
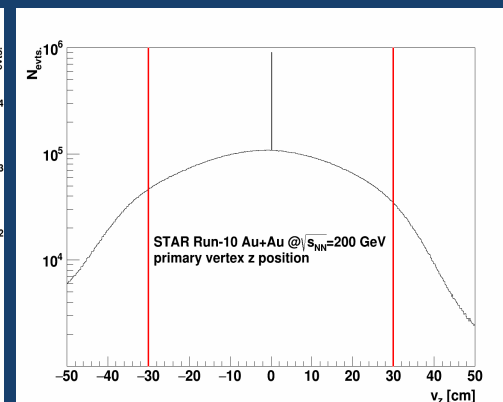
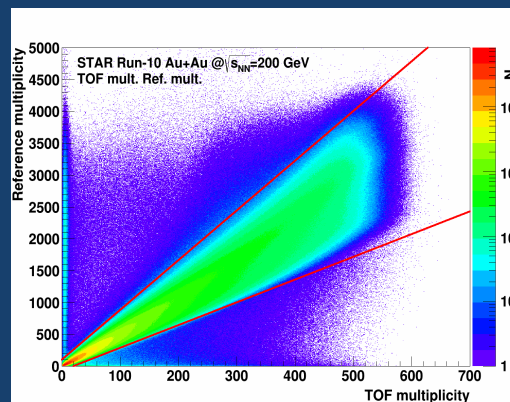
- TOF és TPC multiplicitása ~ arányos
- Ütközés (vertex) helye:  
 $|v_z| < 30 \text{ cm}$ ,  $v_r < 2 \text{ cm}$

## ○ Részecskeválogatás:

- Részecskeazonosítás:  $2\sigma$
- TPC beütések száma  $> 15$
- Nyom-vertex távolság (DCA)  $< 3 \text{ cm}$

## ○ Párválogatás:

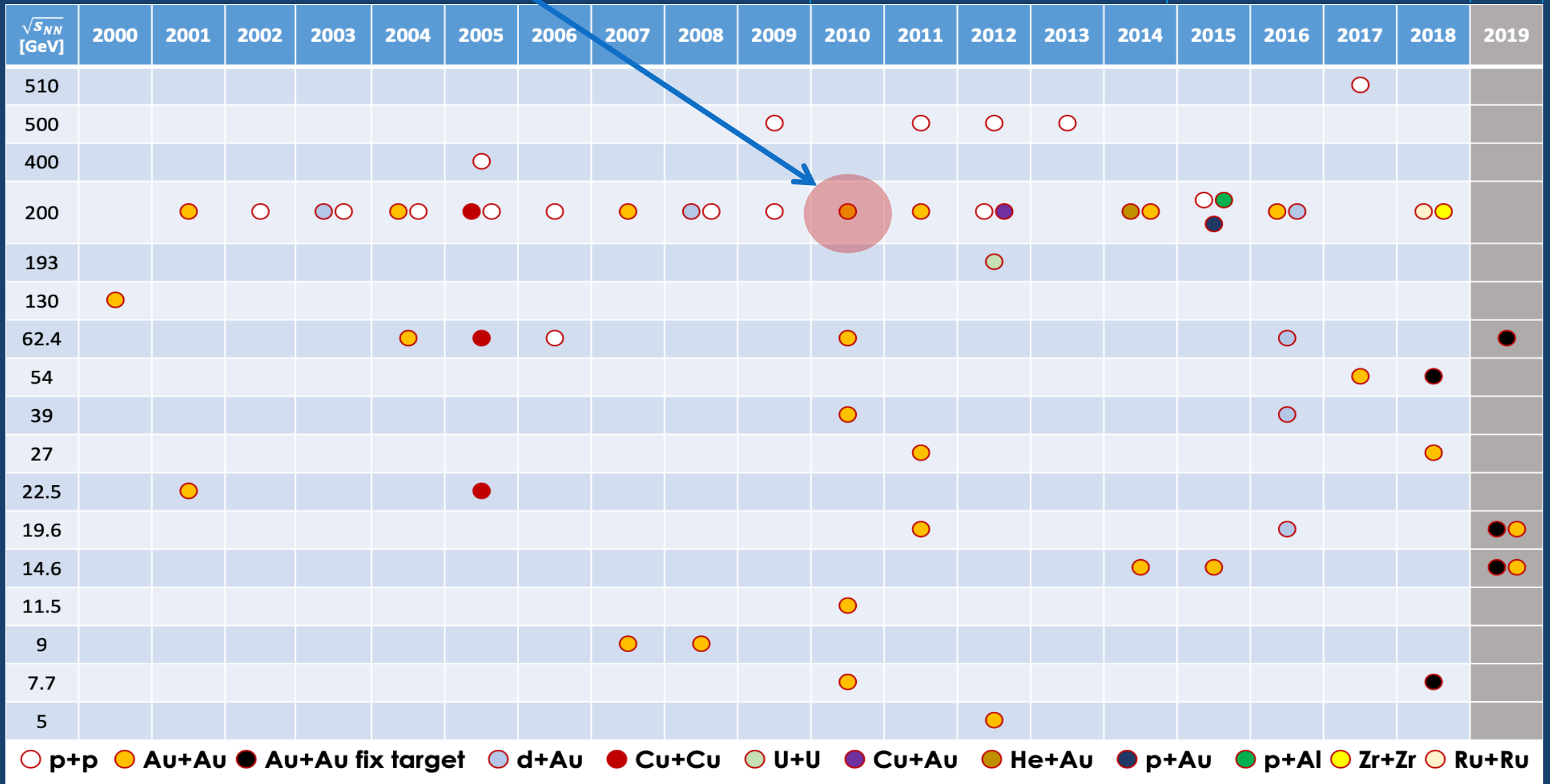
- Nyomok összeolvadása
- Nyomok szétválása



# Általam elemzett ütközési adatok

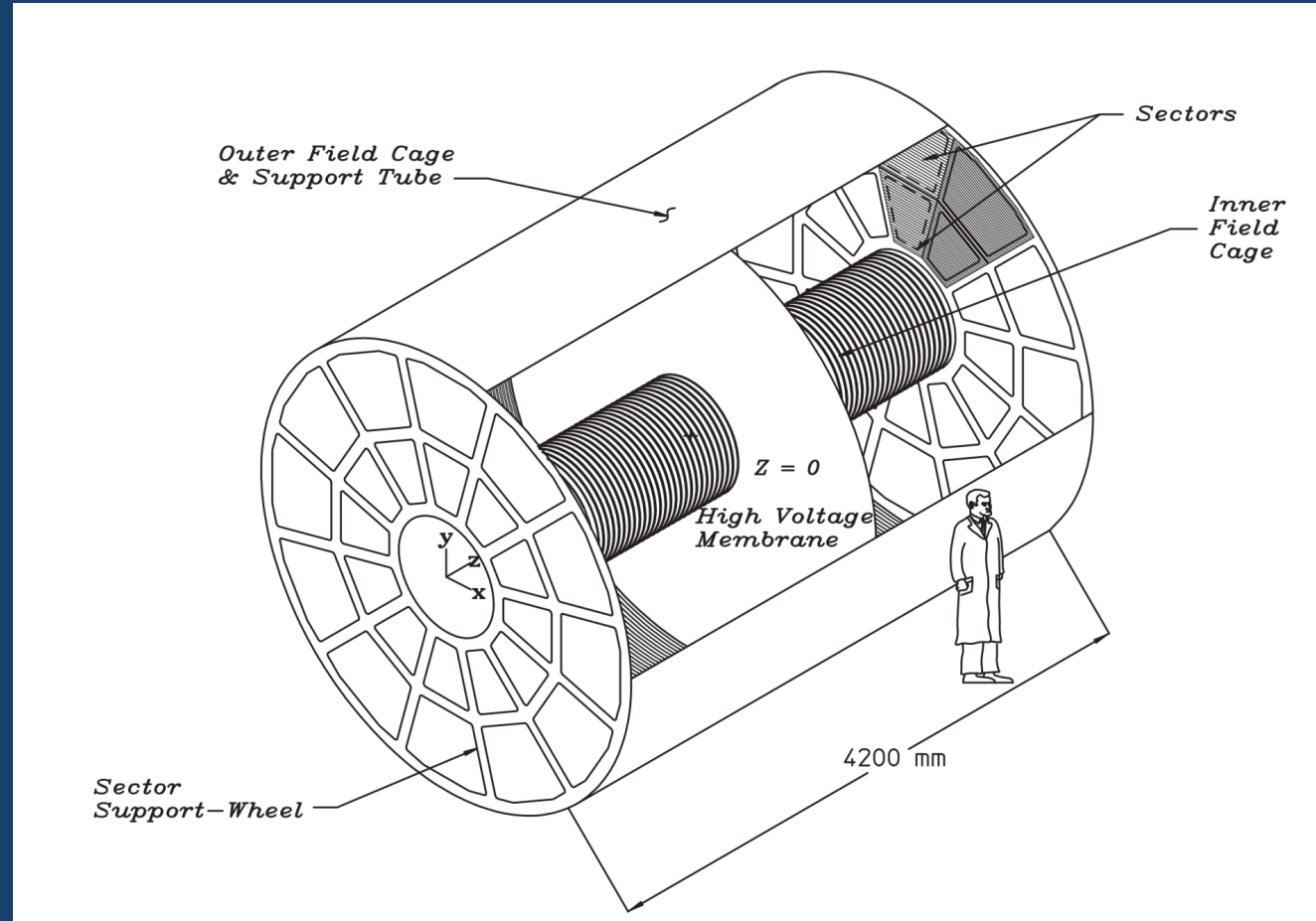
BES I.

Tervek: BES II.



# TPC

- Track rekonstrukció,  $p$ ,  $dE/dx$  (ionizáció)
- STAR fő nyomkövető detektora
- 4.2 m hosszú, 4 m széles gázkamra, közel egyenletes 135 V/cm elektromos térben
- Gázkamrában haladó töltött részecske: ionizálódik, elektronkibocsátás, becsapódás
- Kiolvasó rendszer: sokszálas proporcionális karma elven működik
- 0.5 T nagyságú szolenoid mágneses mezejében van
- P10 gázzal van töltve: 10% metán, 90% argon
- 2 mbar nyomással a légköri nyomás fölött

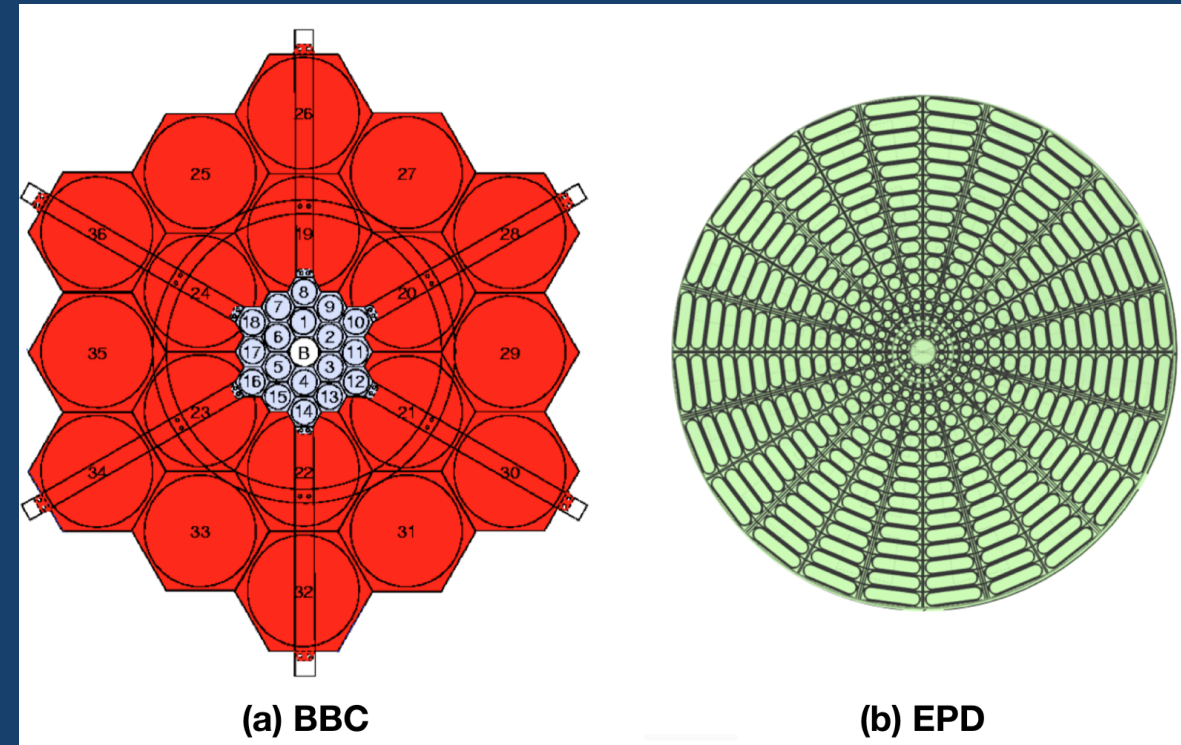


# TOF

- Repülésidő-detektor
- TPC külső részén helyezkedik el
- 100 ns-os időfelbontás, nagy (>95%) detektálási hatékonyság
- TPC-vel együtt a részecskeazonosítást segíti
- Mit mér? – részecskék sebességét
- TPC: impulzust mér
- Pályarekonstrukcióból megkapható a track megtett L úthossza
- Sebesség + impulzus + úthossz = tömegnégyzet meghatározható

# BBC

- Beam-Beam Counter
- Két szcintillációs detektorból áll, 3.75 méterre a TPC közepétől
- Mindkét BBC 2-2 külső és belső gyűrűből
- Gyors válaszidejű detektor, ezért események triggerezésére tökéletesen alkalmazható, főleg alacsonyabb nyalábenergiákon
- Triggerezés = előírt tulajdonságoknak megfelelő eseményeket rögzítünk
- Időkülönbség a két BBC detektor között: lehetőség a z vertex mérésére



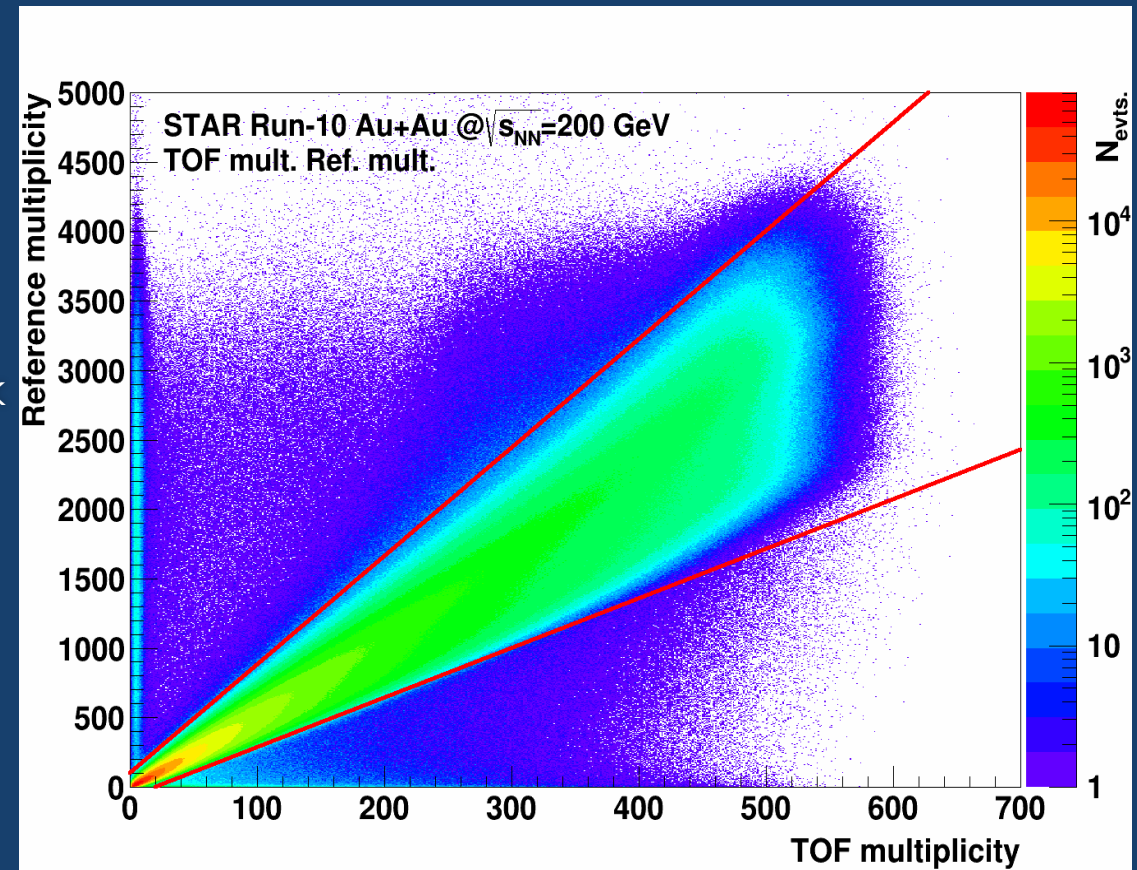
n-ed rendű eseménysík:

$$\psi_n \cdot n = \arctan \left( \frac{\sum_i w_i \sin(n\phi_n)}{\sum_i w_i \cos(n\phi_n)} \right)$$

$w_i$ : súlyozási faktor  
 $\phi_n$ : azimut szög

# Eseményválogatás

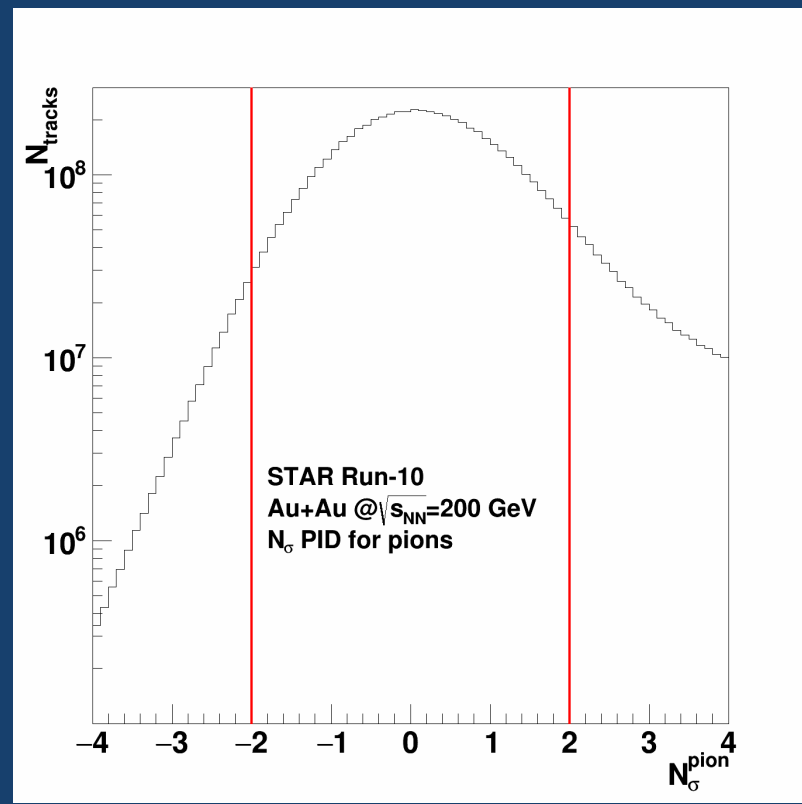
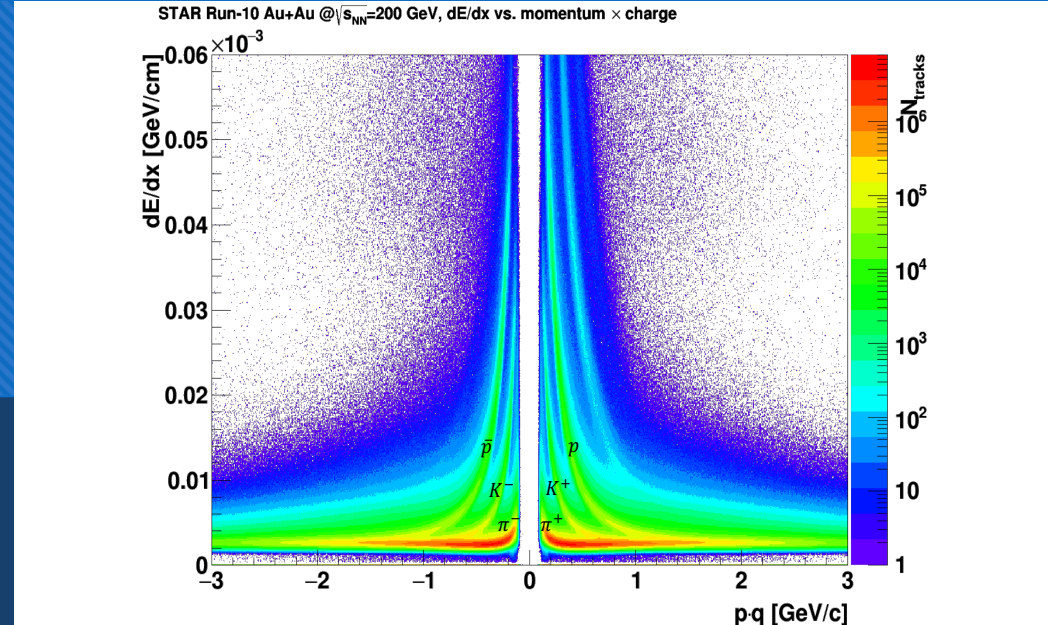
- TOF és TPC multiplicitása ~ arányos :
  - Multiplicitás: egy eseményben hány pion van
  - A tengelyek mentén megfigyelhető események esetén valószínűleg nem volt minden rendben, vágással eldobjuk azokat az eseményeket





# Részecskeválogatás

- Részecskeazonosítás:  $dE/dx$
- $dE/dx$ -ből: vetületet adott impulzus esetén, különböző csúcsok megjelennek
- Pionra vonatkozó részre normál eloszlás illesztés (Gauss)
- Normál eloszlás  $\Rightarrow 2\sigma$  biztonságon belül legyen pion, és kívül legyen kaon, proton, elektron

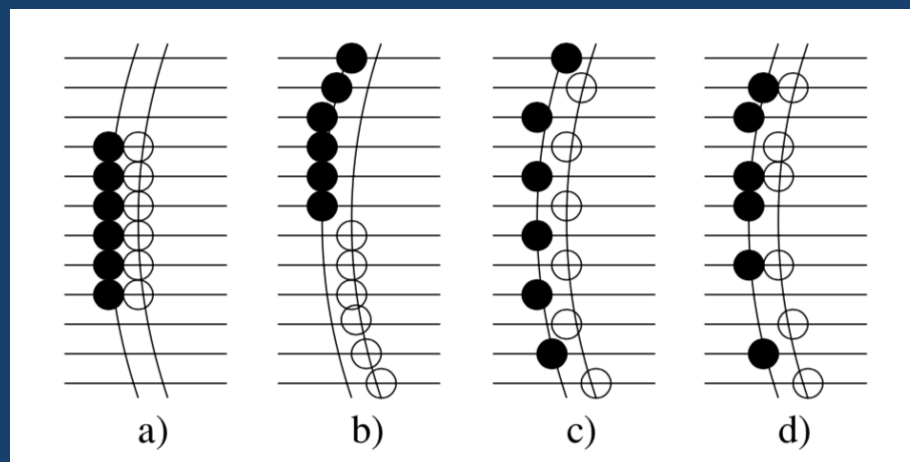


# Párválogatás

- Figyelembe kell venni: detektorok hatékonysága, részecskepálya rekonstrukciós algoritmusának jellemzői
- Algoritmus részecskepályát kettéoszthat: track splitting
- Algoritmus két különböző részecskepályát lehet, hogy nem tud megkülönböztetni: track merging
- Bonyolult technikai megvalósítás, STAR cikk alapján kezeltem őket: STAR Collaboration, J. Adams et al., Phys. Rev. C 71, 044906 (2005)

- Track splitting ábra:

- (a) eset: tisztán két track
- (b) eset: lehetséges split track
- (c) eset: lehetséges split track
- (d) eset: valószínűleg két track



# Lévy illesztés, Coulomb-kölcsönhatás

- Lévy-típusú korrelációs függvény végállapotú kölcsönhatások nélkül:  $C^{(0)}(Q) = 1 + \lambda \cdot e^{-|RQ|^\alpha}$
- Sinyukov módszer:  $C(Q) = \left(1 - \lambda + \lambda \cdot K(Q; \alpha, R) \cdot (1 + e^{-|RQ|^\alpha})\right) \cdot N \cdot (1 + \varepsilon Q)$

↓  
Korreláció  
erőssége

↓  
Coulomb  
korrekció

Lehetséges lineáris háttér  
(általában elhanyagolható)

↓  
R: Lévy skála paraméter  
 $\alpha$ : Lévy exponens

- Coulomb korrekció:  $K(Q; \alpha, R) = \frac{\int D(r) |\psi^{Coul}(r)|^2 dr}{\int D(r) |\psi^{(0)}(r)|^2 dr}$  → Numerikusan számolva

↓  
Térbeli korrelációk (pár-forrásfüggvény)

↓  
Kétrészecske hullámfüggvény

# Lévy illesztés, Coulomb-kölcsönhatás

- Coulomb korrekció (numerikusan számolva):

$$D(r) = \mathcal{L}\left(\alpha, 2\frac{1}{\alpha}R, r\right)$$

$$\psi^{Coul}(\mathbf{r}) = \frac{1}{\sqrt{2}} \frac{\Gamma(1 + i\eta)}{e^{\pi\eta/2}} \{e^{i\mathbf{q}\mathbf{r}} F(-i\eta, 1, i(\mathbf{q}\mathbf{r} - \mathbf{q}\mathbf{r})) + e^{-i\mathbf{q}\mathbf{r}} F(-i\eta, 1, i(\mathbf{q}\mathbf{r} + \mathbf{q}\mathbf{r}))\}$$

$$K(Q; \alpha, R) = \frac{\int D(r) |\psi^{Coul}(r)|^2 dr}{\int D(r) |\psi^{(0)}(r)|^2 dr}$$

$\mathbf{r}$ : részecskepár térbeli szeparációja

$\mathbf{q}$ : 3D relatív impulzus a pár nyugalmi rendszerében (PCMS)

$\Gamma$ : Gamma függvény

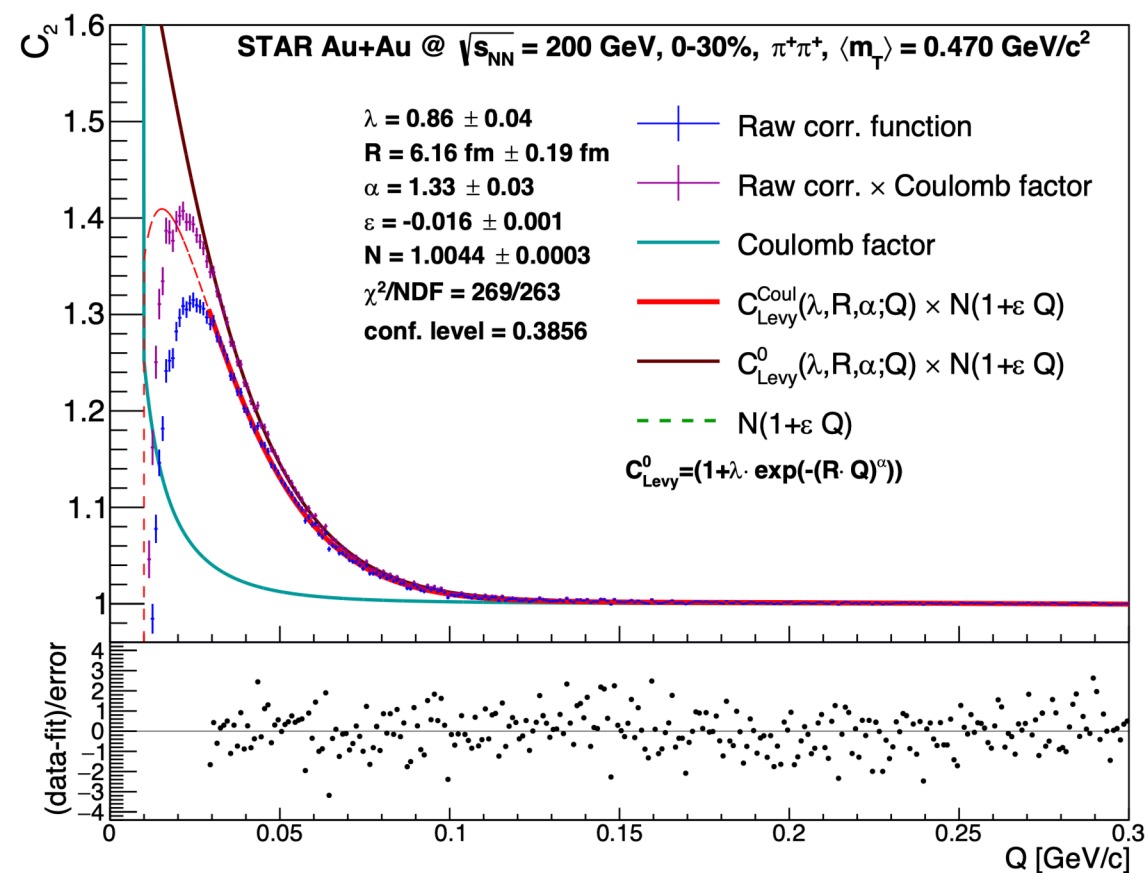
$F(a,b,z)$ : elfajult hipergeometrikus függvény

$$\eta = \frac{m_{\pi} c^2 \alpha}{2\hbar q c}$$

$$\alpha = \frac{e^2}{4\pi\epsilon_0 \hbar c} \approx \frac{1}{137}$$

# A korrelációs függvények illesztése

- Illesztési paraméterek:
  - $\lambda, R, \alpha$  : fizikai paraméterek
  - $N \approx 1$  : normalizációs paraméter
  - $\varepsilon \approx 0$  : lineáris háttérrel jellemző paraméter
- $N \approx 1$  és  $\varepsilon \approx 0$ : lehetséges hosszútávú korrelációs háttérrel reprezentálnak
- Ábramagyarázat:
  - Mért korrelációs hisztogram: kék adatpontok
  - Teljes illesztett függvény: piros görbe
  - Coulomb-korrigált függvény: barna görbe
  - Coulomb-korrigált adatpontok: lila adatpontok
  - Illesztés a folytonos vonallal jelölt tartományon történt



# Ising-modell

- Statisztikus mechanikában ferromágnesesség matematikai modellje
- A modell diszkrét változókból áll, amik atomi spinek mágneses dipól momentumait reprezentálják
  - Két állapotban lehetnek: +1, -1
- A spinek rácsban vannak elhelyezve, kölcsönhathatnak a szomszédokkal
- A modell lehetőséget nyújt fázisátalakulások identifikálására
- Háromdimenziós Ising-modell:
  - Kritikus pontja kvantumtérelmélet által leírva, Monte Carlo szimulációkra és elméleti megfontolásokra támaszkodva
- Univerzalitás osztály: kritikus exponens értéke minden modellre ugyan annyi egy osztályban
- Kritikus exponens: fizikai tulajdonságok viselkedését leírja a folytonos fázisátalakulás körül